平衡確率実現理論を用いた常時微動による道路橋振動特性の推定

長崎大学大学院 学生会員 出口浩二 長崎大学工学部 フェロー 岡林隆敏 長崎大学工学部 学生会員 大塚文博

1.はじめに

赤池は,正準相関解析(Canonical Correlation Analysis)に基づく確率実現理論1)を提案した.この手法は,確率統 計的な処理により確率実現理論を構成する特徴がある.その後,Desai²⁾は,この手法を洗練して平衡確率実現手 法を提案した.ここでは,平衡確率実現法を橋梁振動特性推定に適用する.確率実現法のプログラムは文献³⁾を 参考にしている.確率実現問題は,y(t)の共分散行列(あるいは,スペクトル密度行列)が与えられたとき,そ の出力共分散行列(あるいはスペクトル密度行列)が与えられたものと等しくなるようなマルコフ状態空間モデ ルを求める問題である.

2.シミュレーション概要

構造モデルは,図-1 に示すランガー橋である.モデル諸元を表-1 に,ランガー橋の 1~8 次までの固有振動数 を表-2に示す.また,固有値解析による振動モードを図-2に示す.離散系の状態方程式は次式で表される.

$$x(k+1) = Ax(k) + Bf(k) \quad y(k) = Cx(k) \tag{1}$$

本研究では,図-1の節点 ~ の鉛直方向に互いに独立な白色雑音を与えた場合の速度応答を常時微動とし,シ ミュレーションを行った.数値解析法はモード解析法を用いた.また,各振動次数のモード減衰は, $h_k = 0.02$ と

仮定した.平衡確率実現理論に基づいて,この状態方程式の システム行列を推定する.このシステム行列の固有値解析よ り,振動数,減衰定数,振動モードを推定するものである.

3.振動特性推定法

1)平衡確率実現手法()

速度応答より算出されたハンケル行列は,マルコフパラメ ータより,

$$\mathbf{Y}_{k|2k-1} = \begin{bmatrix} \mathbf{y}(k) & \cdots & \mathbf{y}(k+N-1) \\ \vdots & & \vdots \\ \mathbf{y}(2k) & \cdots & \mathbf{y}(N+2k-2) \end{bmatrix} \in \mathbf{R}^{kp \times N}$$
 (2)

と表される $.Y_p = Y_{0|k-1}$ は過去のデータ $,Y_f = Y_{k|2k-1}$ は未来のデ ータである . 次に共分散行列 Σ_{f} , Σ_{pp} の平方根行列を求める ٤,

$$\Sigma_{ff} = MM^{T} , \Sigma_{pp} = LL^{T}$$
 (3)

となり (3)式より Σ_{pf} の正規化された特異値分解を求める.

$$L^{-1}\Sigma_{pf}(M^{-1})^{T} = U\Sigma V^{T} \cong U_{s}\Sigma_{s}V_{s}^{T}$$

$$\tag{4}$$

ここに \mathcal{L}_{S} は \mathcal{L}_{S} の小さい特異値を無視することにより得られ る.状態ベクトルの次元は $n = \dim \Sigma_s$ となる.

拡大可観測および拡大可到達行列を以下のように定義すると、

$$O_k = LU_s \Sigma_s^{1/2} , C_k = \Sigma_s^{1/2} VM^T$$
 (5)

となり、(5)式より、

$$A = O_k \setminus \overline{O}_k$$
, $C = O_k(1:p,:)$ (6)

 O_{k} , \overline{O}_{k} はそれぞれ O_{k} の下p行,および上p行を除いた行列 である.



図-1 ランガー橋モデル

表-1 モデル諸元 表-2 固有振動数

冠		補酬桁橋		
遺	L(m)	58.995		
ライズ	f(m)	9.36		
補削桁の断面積	$A_1(m^2)$	2.24 ×10 ⁻²		
挟め断面積	$A_2(m^2)$	2.24 ×10 ⁻²		
曲澗性	EI(kN·m)	1.74×10^4		
桁全重量	W _b (kN)	1.47×10^3		
相數		9		

次数	振動数(Hz)		
1次	1.742		
2次	2.558		
3次	4.018		
4次	6.355		
5次	9.734		
6次	13.62		
7次	17.61		
8次	20.76		

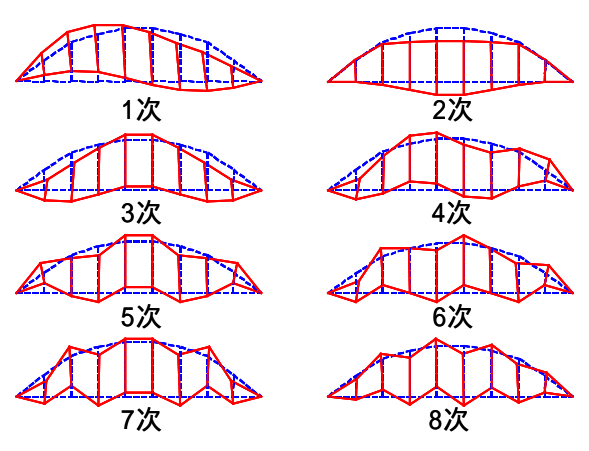


図-2 固有値解析による振動モード

$$\overline{X}_{k} = \hat{\Sigma}_{s}^{1/2} \hat{V}_{s}^{T} M^{-1} \overline{Y}_{0|k-1} \in R^{n \times N}$$

$$(7)$$

を求め, N-1列からなる行列を定義する.

$$\hat{X}_{k+1} = \overline{X}_k(:,2:N) \in \mathbf{R}^{n \times (N-1)}$$
(8)

$$\mathbf{Y}_{k|k} = \left[\mathbf{y}(k) \quad \cdots \quad \mathbf{y}(k+N-1) \right] \tag{9}$$

$$\begin{bmatrix} \hat{X}_{k+1} \\ \hat{Y}_{k|k} \end{bmatrix} = \begin{bmatrix} A \\ C \end{bmatrix} \hat{X}_k + \begin{bmatrix} \rho_w \\ \rho_v \end{bmatrix} ((n+p) \times (N-1)$$
 (10)

右から \hat{X}_{k}^{T} をかけることによりA, C を求める.

$$\begin{bmatrix} \mathbf{A} \\ \mathbf{C} \end{bmatrix} = \left(\begin{bmatrix} \hat{\mathbf{X}}_{k+1} \\ \hat{\mathbf{Y}}_{k|k} \end{bmatrix} \hat{\mathbf{X}}_{k}^{T} \right) (\hat{\mathbf{X}}_{k} \hat{\mathbf{X}}_{k}^{T})^{-1}$$
(11)

(6)(11)式より,Aの固有値から固有値の X_{Re} , $X_{ ext{Im}}$ を用いて,次式から固有円振動数 ω_{k} ,減衰定 数 h_k を推定できる.

$$h_k \omega_k = (-1/\Delta) \ln \sqrt{X_{\text{Re}}^2 + X_{\text{Im}}^2} \omega_k \sqrt{1 - h_k^2} = (1/\Delta) \tan^{-1}(X_{\text{Im}}/X_{\text{Re}})$$
(12)

ここに, △はサンプリング時間である.

4.振動特性推定結果

振動特性推定は,平衡確率実現手法(確率実現手法()ともに 30 秒間の速度応答デ ータを1回区分として合計100回発生させて,振 動数,減衰定数の推定を行った.平衡確率実現手 法()による振動数推定軌跡,減衰定数推定軌 跡をそれぞれ図-3,図-4に示す.これらの結果か ら,各次数における振動数と減衰定数が推定でき ていることが確認できる.また,図-5は平衡確率 実現手法()により算出された合計 100 回の振 動モードの平均値をプロットしたものである.平 衡確率実現手法(),平衡確率実現手法()と もに,固有値解析で求められた振動モードと比較 してみると、全次数において良好に振動モードが 推定できている.

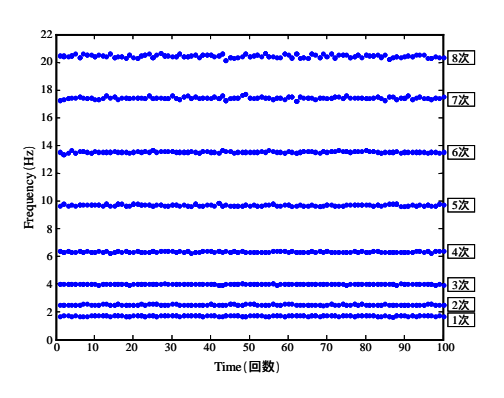
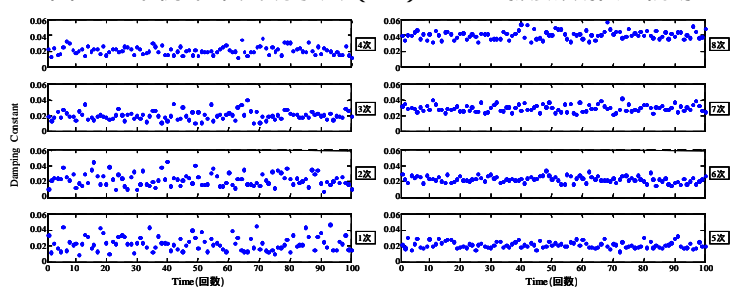
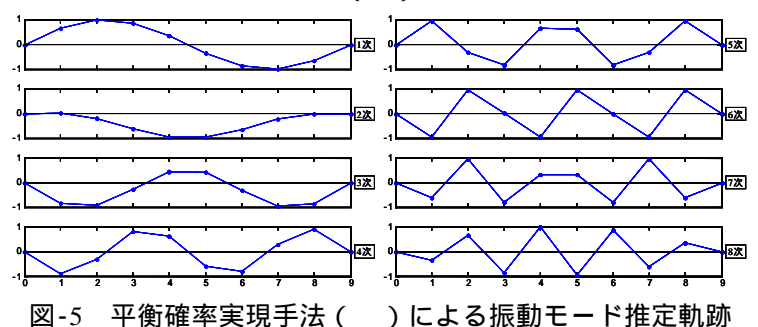


図-3 平衡確率実現手法()による振動数推定軌跡



平衡確率実現手法()による減衰定数推定軌跡



)による振動モード推定軌跡

		振動数				減衰定数			
		解析値(Hz)	平均值(Hz)	標準偏差(Hz)	変動係数(%)	設定値	平均值	標準偏差	変動係数(%)
1//	手法	1.742	1.741	0.0200	1.147	0.02	0.024	0.0107	44.22
	手法		1.779	0.0309	1.736		0.064	0.0257	40.31
2次	手法	2.558	2.557	0.0212	0.828	0.02	0.023	0.0084	36.77
	手法		2.586	0.0253	0.979		0.033	0.0117	35.25
3次	手法	4.018	4.018	0.0212	0.529	0.02	0.020	0.0057	28.11
	手法		4.036	0.0247	0.611	0.02	0.024	0.007	29.69
	手法	6.355	6.359	0.0290	0.455	0.02	0.021	0.0053	25.04
	手法		6.366	0.0387	0.607		0.023	0.0054	23.62
5次	手法	9.734	9.720	0.0471	0.485	0.02	0.022	0.0043	19.77
	手法		9.683	0.0573	0.592		0.025	0.0062	24.56
6次	手法	13.616	13.56	0.0548	0.404	0.02	0.023	0.0041	17.86
	手法		13.47	0.0715	0.530		0.032	0.0066	20.45
7次	手法	17.607	17.45	0.0820	0.470	0.02	0.030	0.0047	15.73
	手法		17.30	0.1322	0.764		0.046	0.0085	18.60
	手法	20.763	20.46	0.1063	0.520	0.02	0.042	0.0059	14.13
	手法		20.21	0.1647	0.815		0.068	0.0112	16.58

表-3 振動特性推定結果

次に,両手法における振動特性推定結果を表-3 に示す.この表より,両手法の振動数の推定は変動係数 1%程 度となり,ほぼ同精度であることが確認できたが,減衰定数においては平衡確率実現手法()で求めた低次と 高次の平均値が設定した値の 0.02 よりも高い推定値となっている.

5 .<u>まとめ</u>

平衡確率実現手法(),および平衡確率実現手法()を用いて,対象モデルの振動特性推定を行い,その精 度検証を行った、両手法の振動特性推定精度は、振動数はほぼ同精度であるが、減衰定数においては両手法の間 に誤差が確認された.

【参考文献】1) H.Akaike:SIAM J.Control,vol.13,no.1,pp.162-173,1975.

- 2) U.B.Desai, D.Pal and R.D.Kirkpatrick: Int. J. Control, vol. 42, no. 4, pp. 821-838, 1985.
- 3) 片山徹:システム同定,朝倉書店,2004,2